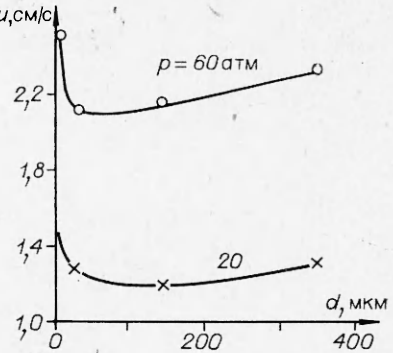


Рис. 3. Зависимость скорости горения смесевого состава от размера частиц углерода.



рения от давления. Нижняя ветвь кривой 2 отвечает неустойчивому режиму горения. Возможность появления экстремумов для различных зависимостей обусловлена, по-видимому, тем, что переходная область начинается лишь при достаточно развитом теплоотводе, отвечающем резкому увеличению крутизны кривых 2 (см. рис. 1, 2).

В целях экспериментальной проверки полученных закономерностей измерены скорости горения модельного смесевого состава, содержащего 75% перхлората аммония (<56 мкм), 15% углеводородного горючего и 10% углерода с различным размером частиц. Зависимость коэффициента давления  $v$  от размера частиц углерода приведена ниже.

$d, \text{ мкм}$	1—2	<70	100—200	300—400
$v$	0,468	0,470	0,562	0,505

Существование минимума на кривых  $u(d)$  (рис. 3) и максимума для зависимости  $v(d)$  подтвердило теоретические выводы. Характерно, что при повышении давления минимум на кривых  $u(d)$  закономерно сдвигается в сторону меньших размеров частиц углерода вследствие уменьшения толщины прогретого слоя топлива.

Поступила в редакцию  
18/IX 1979

#### ЛИТЕРАТУРА

- Н. Н. Бахман, А. Ф. Беляев. Горение гетерогенных конденсированных систем. Наука, 1967.
- С. С. Новиков, В. Ю. Потулов, С. В. Чуйко.— В сб.: Горение конденсированных систем. Черноголовка, 1977.
- G. B. Manelis, V. A. Strunin. Comb. and Flame, 1971, 17, 69.

#### АНАЛИЗ УСТОЙЧИВОСТИ СТАЦИОНАРНОГО РЕЖИМА ГОРЕНИЯ К-ФАЗЫ В ПОЛУЗАМКНУТОМ ОБЪЕМЕ

T. A. Bodnar

(Москва)

Систематическое изучение вопросов устойчивости горения конденсированного вещества (к-фазы) в полузамкнутом объеме началось с работы Я. Б. Зельдовича [1] и привело к появлению многочисленных исследований, наиболее полный анализ которых дан в [2], где содержится и библиография основных работ по исследованию устойчивости горения твердых веществ.

Физические предпосылки неустойчивости горения к-фазы в полузамкнутом объеме заключаются в различии инерционных свойств поверхностного слоя к-фазы и газа, заполняющего свободный объем камеры. Отсюда и математическое описание процесса, которое представляет со-

бой систему из двух дифференциальных уравнений первого порядка баланса массы и энергии газовой фазы в полузамкнутом объеме и одного уравнения в частных производных баланса энергии в поверхностном слое к-фазы:

$$\begin{aligned} dp/dt &= V[Su\gamma kF - k\alpha(k)\sigma p(RT_g)^{0.5}], \\ d\rho/dt &= V[Su\gamma - \alpha(k)\sigma p(RT_g)^{-0.5}], \\ p &= \rho RT_g, \end{aligned} \quad (1)$$

$$\frac{\partial T(x, t)}{\partial t} = \frac{\lambda}{\gamma c_p} \frac{\partial^2 T(x, t)}{\partial x^2} + u \frac{\partial T(x, t)}{\partial x}, \quad (2)$$

где  $x$ ,  $t$  — координата, время;  $p$  — давление;  $\rho$  — плотность газа;  $V$  — объем;  $S$  — площадь поверхности горения к-фазы;  $\gamma$  — плотность к-фазы;  $\sigma$  — площадь выходного отверстия;  $R$  — универсальная газовая постоянная;  $\lambda$  — коэффициент теплопроводности;  $T$  — температура;  $u$  — скорость горения;  $k$  — показатель изоэнтропы;  $c_p$  — коэффициент теплоемкости;  $F$  — теплосодержание продуктов сгорания к-фазы;  $\alpha(k) = \sqrt{k}(2/(k+1))^{1/2(k-1)}$  — газодинамическая функция; индексом  $g$  отмечены параметры, относящиеся к газу.

Уравнения (1) описывают изменение во времени средних по свободному объему камеры характеристик продуктов сгорания  $p$ ,  $\rho$ ,  $T_g$ , что предполагает безынерционность процессов, протекающих в газовой фазе, в то время как к-фаза обладает определенной инерционностью, зависящей от теплофизических характеристик и скорости горения.

Система уравнений (1), (2) незамкнутая, и для ее замыкания необходимо иметь зависимость для скорости горения  $u = f(p, T(0, t), \partial T(0, t)/\partial x)$ , которая совместно с граничными условиями уравнения (2) определяет модель горения к-фазы в полузамкнутом объеме. Начальные условия системы (1), (2) при исследовании устойчивости процесса соответствует невозмущенным параметрам газа и к-фазы при стационарном режиме горения

$$\begin{aligned} t = 0, \quad p = p_0 &= \left[ \frac{SA\gamma F^{0.5}}{\alpha(k)\sigma} \right]^{1/(1-\nu)}, \quad \rho = \rho_0 = \frac{p_0}{F}, \\ u = u_0, \quad T(x, 0) &= T_{s,0} + (T_{s,0} - T_0) e^{-u_0/\kappa \cdot x}, \end{aligned} \quad (3)$$

где  $\kappa = \lambda/\gamma c_p$  — коэффициент температуропроводности;  $T_s$  — температура горящей поверхности к-фазы;  $T_0$  — начальная температура к-фазы; индексом 0 отмечены невозмущенные параметры газа и к-фазы.

В работе [3] проведен анализ устойчивости стационарного режима горения для модели с переменной температурой поверхности (модель гранулярно-диффузионного пламени [4]), в результате которого определены области устойчивости процесса горения как функции от безразмерного параметра

$$B = k\nu\alpha(k)F^{0.5}\sigma/VA^2,$$

где  $A$  — постоянная в законе скорости горения.

Особенность анализа устойчивости горения, проведенного в работе [3], заключается в применении метода малых возмущений не непосредственно к уравнениям (1), (2), а к системе обыкновенных дифференциальных уравнений первого порядка, полученной в результате замены решения уравнения (2) его первым приближением [5]. Это позволило получить простые соотношения для количественного определения областей устойчивости горения к-фазы на  $p_0$ ,  $B$ -плоскости.

В данной работе проведен анализ устойчивости стационарного режима горения к-фазы для некоторых частных случаев модели горения

с постоянной температурой поверхности [1]. Рассматривались различные зависимости скорости горения от начальной температуры к-фазы

$$u_0 = u_0(p_0, T_0). \quad (4)$$

Для модели горения с постоянной температурой поверхности справедливы граничные условия первого рода

$$\begin{aligned} T(0, t) &= T_{s,0} = \text{const}, \\ T(\infty, t) &= T_0 \end{aligned} \quad (5)$$

уравнения (2). Следовательно, скорость горения будет определяться давлением в полузамкнутом объеме и градиентом температур у поверхности раздела твердой и газовой фаз со стороны твердой фазы  $\partial T(0, t)/\partial x$ . Зависимость скорости горения от градиента температур выводится из выражения для стационарного градиента

$$\partial T(0, t)/\partial x = -u_0/\kappa \cdot (T_{s,0} - T_0), \quad (6)$$

а затем распространяется на процесс нестационарного горения [2]. Для этого необходимо выразить из уравнения (6) начальную температуру к-фазы через скорость горения и градиент температур и подставить в уравнение (4).

Рассмотрим некоторые конкретные зависимости скорости горения от давления  $p$  и начальной температуры к-фазы  $T_0$ , взятые из работ [1, 6, 7] соответственно

$$\begin{aligned} u_0(\beta) &= A(p/p_a)^v \exp(\beta T_0), \\ u_0(\mu) &= A(p/p_a)^v T_0^\mu, \\ u_0(\epsilon) &= A(p/p_a)^v (1 + \epsilon_1 T_0)(1 - \epsilon_2 T_0)^{-1}, \end{aligned}$$

которые совместно с уравнением (6) дают соответственно

$$\frac{\partial T(0, t)}{\partial x} = -\frac{u(\beta)}{\kappa} \left[ T_{s,0} - \frac{1}{\beta} \ln \frac{u(\beta)}{A(p/p_a)^v} \right], \quad (7)$$

$$\frac{\partial T(0, t)}{\partial x} = -\frac{u(\mu)}{\kappa} \left[ T_{s,0} - \left( \frac{u(\mu)}{A(p/p_a)^v} \right)^{1/\mu} \right], \quad (8)$$

$$\frac{\partial T(0, t)}{\partial x} = -\frac{u(\epsilon)}{\kappa} \left[ T_{s,0} - \frac{u(\epsilon) - A(p/p_a)^v}{\epsilon_2 u(\epsilon) + \epsilon_1 A(p/p_a)^v} \right], \quad (9)$$

где  $v$  — показатель в законе скорости горения;  $p_a$  — величина, равная по модулю 1 и имеющая размерность давления. При равенстве нулю любой из величин  $\epsilon_1, \epsilon_2$  в формуле  $u = u(\epsilon)$  получаются другие частные случаи зависимости скорости горения от начальной температуры [2, 8].

Теперь так же, как и в работе [5], можно вычислить первое приближение решения уравнения (2) с начальными и граничными условиями (3), (5) для каждого из соотношений (7)–(9). Имеем первые приближения решений (2) относительно скорости горения

$$\begin{aligned} u(\beta) &= A(p/p_a)^v \exp(\beta T_0) \left[ 1 + \frac{\beta(T_{s,0} - T_0) v \kappa p^{-1} dp/dt}{\exp(2\beta T_0) A^2 (p/p_a)^{2v}} \right], \\ u(\mu) &= A(p/p_a)^v T_0^\mu \left[ 1 + \frac{\mu(T_{s,0} - T_0) v \kappa p^{-1} dp/dt}{T_0^{2\mu+1} A^2 (p/p_a)^{2v}} \right], \\ u(\epsilon) &= A(p/p_a)^v \frac{1 + \epsilon_1 T_0}{1 - \epsilon_2 T_0} \left[ 1 + \frac{(\epsilon_1 + \epsilon_2)(1 - \epsilon_2 T_0)(T_{s,0} - T_0) v \kappa p^{-1} dp/dt}{(1 + \epsilon_1 T_0)^3 A^2 (p/p_a)^{2v}} \right], \end{aligned}$$

или в общем виде

$$u(\delta) = u_0(\delta) \left[ 1 + \psi(\delta) \frac{v \times p^{-1} dp/dt}{A^2 (p/p_a)^{2v}} \right]. \quad (10)$$

Теперь, исключая из уравнений (1) температуру  $T_g$  и учитывая выражение для скорости горения (10), получим систему обыкновенных дифференциальных уравнений, для записи которой введем безразмерные параметры  $p_1 = p/p_0$ ,  $\rho_1 = \rho/\rho_0$ ,  $\tau = t/t_k$ ,  $u_1 = u/u_0$ , где  $t_k = \rho_0 V F^{0.5} / \alpha(k) p_0 \sigma$  — время релаксации полузамкнутого объема,

$$\begin{aligned} \frac{dp_1}{d\tau} &= k u_1(\delta) - k p_1^{1.5} \rho_1^{-0.5}, \\ \frac{d\rho_1}{d\tau} &= u_1(\delta) - p_1^{0.5} \rho_1^{0.5}, \\ u_1(\delta) &= p_1^v \left[ 1 + \psi(\delta) \frac{v \times p^{-1} dp_1/d\tau}{t_k A^2 (p_0/p_a)^{2v} p_1^{2v}} \right]. \end{aligned} \quad (11)$$

Устойчивость системы (11) исследовалась методом малых возмущений в положении, что

$$p_1 = 1 + p', \quad \rho_1 = 1 + \rho', \quad (12)$$

где  $p' \ll 1$ ,  $\rho' \ll 1$ . Подставляя уравнения (12) в уравнения (11) и сокращая линейные относительно  $p'$  и  $\rho'$  члены, находим

$$dp'/d\tau = a_1 p' + a_2 \rho', \quad (13)$$

$$d\rho'/d\tau = b_1 p' + b_2 \rho', \quad (14)$$

где

$$\begin{aligned} a_1 &= \frac{k(v-1.5) t_k A^2 (p_0/p_a)^{2v}}{t_k A^2 (p_0/p_a)^{2v} - kv \times \psi(\delta)}; \\ a_2 &= \frac{0.5k t_k A^2 (p_0/p_a)^{2v}}{t_k A^2 (p_0/p_a)^{2v} - kv \times \psi(\delta)}; \\ b_1 &= \frac{kv(v-1.5)\times}{t_k A^2 (p_0/p_a)^{2v} \psi^{-1}(\delta) - kv \times} + v - 0.5; \\ b_2 &= \frac{0.5kv \times}{t_k A^2 (p_0/p_a)^{2v} \psi^{-1}(\delta) - kv \times} - 0.5. \end{aligned}$$

Применяя к уравнениям (13), (14) преобразование Лапласа, получаем в изображениях

$$(a_1 - s)p'^*(s) + a_2 \rho'^*(s) = 0, \quad (15)$$

$$b_1 p'^*(s) + (b_2 - s) \rho'^*(s) = 0, \quad (16)$$

где  $s$  — аргумент в изображениях.

Условие разрешимости уравнений (15), (16)

$$\det \begin{vmatrix} a_1 - s & a_2 \\ b_1 & b_2 - s \end{vmatrix} = 0$$

дает характеристическое уравнение

$$s^2 - s(a_1 + b_2) - b_1 a_2 + a_1 b_2 = 0. \quad (17)$$

Для существования устойчивости стационарного режима горения необходимо, чтобы вещественные части обоих корней уравнения (17) были отрицательными, или, если вещественные части обоих корней рав-

$v$	$\psi$	$p_0$
$v < 0$	$-1 \leq \psi < 0$	$p_0 > p_a (Bv\psi)^{\frac{1}{2v}}$
	$0 \leq \psi < \infty$	$0 < p_0 < \infty$
$v = 0$	$-1 \leq \psi < \infty$	$0 < p_0 < \infty$
$0 < v < 1$	$-1 \leq \psi \leq 0$	$0 < p_0 < \infty$
	$0 < \psi < \infty$	$p_0 > p_a (Bv\psi)^{\frac{1}{2v}}$
$v = 1$	$-1 \leq \psi \leq 0$	$0 < p_0 < \infty$
	$0 < \psi < \infty$	$p_0 > p_a (B\psi)^{\frac{1}{2v}}$ $p_0 < p_a \left( B\psi \frac{2}{k+1} \right)^{\frac{1}{2v}}$
$1 < v \leq \frac{3k-1}{2k}$	$0 < \psi < \infty$	$p_0 < p_a \left( B\psi \frac{2v}{ 2kv-3k-1 } \right)^{\frac{1}{2v}}$
$\frac{3k-1}{2k} \leq v < \infty$	$0 < \psi < \infty$	$p_0 < p_a (Bv\psi)^{\frac{1}{2v}}$

ны нулю, то элементарные делители, соответствующие корням с нулевой вещественной частью, должны быть простыми. Отсюда получаем неравенства  $a_1 + b_2 \leq 0$ ,  $b_1a_2 - a_1b_2 < 0$ , которые с учетом безразмерного параметра  $b$  и уравнений (13), (14) дают условия устойчивости процесса (см. таблицу). При  $v = 1$  процесс не собственно устойчивый.

Условия существования устойчивости горения к-фазы в полузамкнутом объеме определялись с учетом ограничений, наложенных на величины  $k$ ,  $\chi$ , а именно  $k > 1$ ,  $\chi > 0$ . Рассмотренный для полноты анализа случай  $\psi < 0$  физического объяснения не имеет. Сравнивая данные таблицы с результатами работы [3], заметим, что при  $\psi(m) = (m-1)/(2m+1-2mH)$ , где  $m$  — показатель в законе скорости горения  $u = u_0[(T(0, t) - T_0)/(T_{s,0} - T_0)]^m$ ,  $H = Q_s/c_p(T_{s,0} - T_0)$ ,  $Q_s$  — удельное количество тепла, выделяемое на поверхности к-фазы, получим области устойчивого горения к-фазы для модели с переменной температурой поверхности горения.

Из анализа результатов, представленных в таблице, следует, что в тех случаях, когда  $v\psi \leq 0$ , процесс горения к-фазы в полузамкнутом объеме устойчив при любых давлениях  $0 < p < \infty$ . Если  $v\psi > 0$ , то в квадранте  $|p_0| > 0$ ,  $B > 0$  существует пороговая функция, делящая этот квадрант на зоны устойчивого и неустойчивого горения к-фазы. Исключением является случай  $v > 1$ ,  $\psi < 0$ , для которого зоны устойчивости на  $|p_0| > 0$ ,  $B > 0$  не существует. Как показано в работе [3], для этого случая область устойчивости горения занимает полуплоскость  $p_0 < 0$ , что лишено физического смысла.

Безразмерный параметр  $B$  представляет собой частное от деления двух величин, имеющих размерность длины,  $B = L_k/L_g$ , где  $L_k = \kappa F^{0.5}/A^2$ ,  $L_g = V/\sigma k\alpha(k)$ . Для сравнения укажем, что низкочастотную неустойчивость обычно связывают с величиной эффективной длины  $L = V/\sigma$ , и определяют границу устойчивости горения как  $L(p_0/p_a)^{2v} = M = \text{const}$  [2]. Из таблицы легко определить значение постоянной  $M$ , например, для  $0 < v < 1$ ,  $\psi > 0$  имеем  $M = \sqrt{k\alpha(k)\kappa F^{0.5}\psi/A^2}$ . Таким образом, полученные результаты позволяют определить для некоторых частных случаев моделей горения к-фазы в полузамкнутом объеме область давлений, когда горение будет устойчивым. Практический интерес представляет случай  $0 < v < 1$ ,  $\psi > 0$ , для которого на  $|p_0| > 0$ ,  $B > 0$  существует пороговая функция, делящая квадрант на зоны устойчивости и неустойчивости горения, что подтверждено многочисленными экспериментальными и теоретическими исследованиями.

Несколько неожиданным здесь, так же как и в работе [3], следует признать возможность существования устойчивого горения к-фазы в полузамкнутом объеме при  $v > 1$  в определенной области давлений, нижняя граница которой равна нулю. Этот случай экспериментального подтверждения не имеет.

*Поступила в редакцию  
26/XII 1979*

#### ЛИТЕРАТУРА

1. Я. Б. Зельдович. ЖЭТФ, 1942, 12.
2. Б. В. Новожилов. Нестационарное горение твердых ракетных топлив. М., Наука, 1973.
3. Т. А. Боднарь.— В сб.: Численные методы механики сплошной среды. Т. 9, № 6. Новосибирск, 1978.
4. Х. Крир, Д. Тьеи и др. Ракетная техника и космонавтика, 1968, 6, 2.
5. Т. А. Боднарь.— В сб.: Численные методы механики сплошной среды. Т. 8, № 4. Новосибирск, 1977.
6. Т. А. Боднарь, М. П. Головастиков, Р. И. Сафин.— В сб.: Численные методы механики сплошной среды. Т. 8, № 6. Новосибирск, 1977.
7. Ю. А. Гостинцев, А. Д. Марголин. ФГВ, 1965, 1, 2.
8. Ю. А. Гостинцев, А. Д. Марголин. ПМТФ, 1964, 5.

## О ДВУХ РЕЖИМАХ ГОРЕНИЯ НА ПРЕДЕЛЕ РАСПРОСТРАНЕНИЯ СВЕТЯЩЕГОСЯ ПЛАМЕНИ

*И. М. Гололобов, Э. А. Грановский, Ю. А. Гостинцев*

*(Северодонецк)*

При достаточно больших размерах реакционного сосуда в газовых пламенах с высокой концентрацией сажи, образующейся при горении, радиационные потери преобладают над другими видами теплопотерь. Это показано в [1, 2] на примере пламени распада ацетилена, которое в этом случае может рассматриваться как модельное для изучения пределов распространения светящегося пламени.

Настоящая работа, продолжая [2], где исследовалась флегматизация ацетилена водородом — продуктом реакции распада, — первоначально ставила своей целью изучить влияние разбавителей с сильно отличающимся молекулярным весом на предельное давление стационарного распространения пламени распада ацетилена. Однако в ходе проведения